

大阪大学工学部 正員 小松定夫

## 1. まえがき

近年, K. Basler, Ch. Massonet, P. B. Cooper, K. C. Rockey, M. Skaloud, 岩田橋梁鉄骨構造研究会や小西一郎、木次博、三上布藏、奥村敏恵、西野文雄の諸先生方により、フレートガーダーの耐荷力に関する実験が実施され、注目を浴びるに至った。これらの実験結果から、フレートガーダーは腹板の座屈後も、かなりの耐荷性能を發揮できることが実証された。これは腹板の座屈した部分が、フランジや補剛材の近隣におけるまだ座屈していない部分に拘束されるため、2次的な膜応力が発生しそれが座屈後の腹板の安定性に寄与するためだと考えられている。従って腹板の座屈時の荷重がフレートガーダー全体の極限荷重だとはいえない。最近、高強度の鋼材がフレートガーダーに用いられるようになつたが、そのような場合ますます座屈荷重と真の極限荷重の差が著しくなるものと考えられる。それで腹板座屈後の腹板自身の挙動ならばに、それがフレートガーダー全体の力学的性状に及ぼす影響を明確にして、座屈後の余剰強度を考慮に入れたより合理的な設計概念を確立するこれが期待されていいのではないかと考える。

そこで、腹板座屈後の中立面の伸びを考慮に入れ、腹板の膜作用と周辺の骨組との相関性について実際的な仮定を設けて、非線形弹性問題として理論的に座屈後の応力分布ならばに変形が荷重の増加に伴い、どのように変化するかを調べるのが、本研究の目的である。

## 2. 基礎方程式

腹板座屈後のフレートガーダーの力学的性状を正確に阐明するには、腹板の挙動を追跡していくことが基本的な重要なことである。そこで初期たわみを有する板に對する Karman の有限変位理論の基礎方程式を忠実に解析することができる。すなわち図 1 に示すように、腹板パネルの両端断面に曲げモーメントとせん断力を受けるために生ずる腹板のたわみ  $w(x, y)$  と板面内膜応力に由する応力剛度  $(x, y)$  について次の非線形連立方程式が成立つ。

$$\Delta \Delta w = \frac{t}{D} \left\{ \Phi_{yy}(w + \bar{w})_{xx} + \Phi_{xx}(w + \bar{w})_{yy} - 2\Phi_{xy}(w + \bar{w})_{xy} \right\} \quad (1)$$

$$\Delta \Delta \Phi = E \left\{ w_{xy}^2 - w_{xx}w_{yy} + 2w_{xy}\bar{w}_{xy} - \bar{w}_{xx}w_{yy} - w_{xx}\bar{w}_{yy} \right\} \quad (2)$$

ここで  $w(x, y)$  は初期たわみで既知とする。D は板剛度、t は腹板厚である。

二の方程式の攝動解を次式で与える。

$$\Phi = \Phi_0 + \lambda^2 \Phi_2 + \dots, \quad w = \lambda w_1 + \lambda^3 w_3 + \dots, \quad \bar{w} = \lambda \bar{w}_1 \quad (3)$$

解(3)を方程式(1), (2)に代入して、 $\lambda$  の同じべきの項を相等しいとおけば

$$\text{入の項: } \Delta \Delta w_1 = \frac{t}{D} \left\{ \Phi_{0,yy}(w_1 + \bar{w}_1)_{xx} + \Phi_{0,xx}(w_1 + \bar{w}_1)_{yy} - 2\Phi_{0,xy}(w_1 + \bar{w}_1)_{xy} \right\} \quad (4)$$

$$\lambda^2 \text{の項: } \Delta \Delta \Phi_2 = E \left\{ w_{1,xy}^2 - w_{1,xx}w_{1,yy} + 2w_{1,xy}\bar{w}_{1,xy} - \bar{w}_{1,xx}w_{1,yy} - w_{1,xx}\bar{w}_{1,yy} \right\} \quad (5)$$

$$\begin{aligned} \lambda^3 \text{の項: } \Delta \Delta w_3 &= \frac{t}{D} \left\{ \Phi_{0,yy}w_{2,xx} + \Phi_{0,yy}(w_1 + \bar{w}_1)_{xx} + \Phi_{0,xx}w_{2,yy} + \Phi_{0,xx}(w_1 + \bar{w}_1)_{yy} \right. \\ &\quad \left. - 2\Phi_{0,xy}w_{3,xy} - 2\Phi_{2,xy}(w_1 + \bar{w}_1)_{xy} \right\} \end{aligned} \quad (6)$$

方程式(4), (5), (6)は線形方程式であるから、デジタル計算機による数値計算が容易である。

### 3. 腹板応力と応力関数

腹板に生ずる膜応力の3成分は

$$\left. \begin{aligned} \sigma_x &= \sigma_{x,0} + \lambda^2 \sigma_{x,z}, \quad \sigma_y = \sigma_{y,0} + \lambda^2 \sigma_{y,z} \\ \tau &= \tau_0 + \lambda^2 \tau \end{aligned} \right\} \quad (7)$$

で表わす。ここに添字0を付した応力

$$\sigma_{x,0} = \frac{\partial^2 \bar{w}}{\partial y^2}, \quad \sigma_{y,0} = \frac{\partial^2 \bar{w}}{\partial x^2}, \quad \tau_0 = -\frac{\partial^2 \bar{w}}{\partial x \partial y} \quad (8)$$

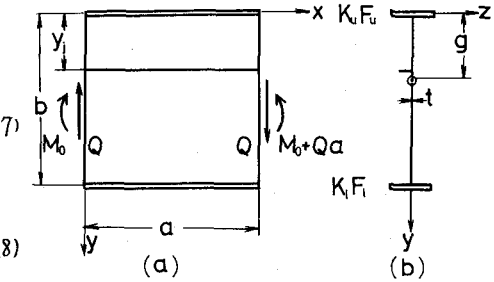


図-1

は工学的曲げ理論によるもので以下これに準ずる。

従て応力関数重は簡単に次式によつて与えられる。

$$\bar{w}_i = \frac{M(x)}{I_t} \left[ \frac{t}{b} y^3 - \frac{gt}{2} y^2 + (bgt - \frac{b^2 t}{2} - S_t) y \right] \quad (9)$$

ここでI\_tは軸の断面2次モーメント, gは重心位置,

$S_t$ は下フランジの断面1次モーメント

そこで式(9)を方程式(4)に代入すれば

$$A \Delta w_i = \frac{t}{D} \left[ \frac{M(x)}{I} (y-g)(w_i + \bar{w}_i)_{xx} + Z \frac{Q S}{I t} (w_i + \bar{w}_i)_{xy} \right] \quad (10)$$

### 4. 解 $w_i(x, y)$

境界条件を満足する方程式(4)の解は  $w_i(x, y) = \sum_m \sum_n A_{mn} \sin \frac{m \pi x}{a} g_n(y) \quad (11)$

$$\text{ここで } g_n(y) = \prod_j (y-y_j) (B_n y^{n+2} + C_n y^{n+1} + D_n y^n) \quad (n=1, 2, \dots)$$

境界条件として

$$y=0 \text{ において } w_i(x, 0) = 0 \quad -D \left( \frac{\partial^2 w_i}{\partial y^2} - \nu \frac{\partial^2 w_i}{\partial x^2} \right) = K_u \frac{\partial^3 w_i}{\partial x^2 \partial y} \quad (12)$$

$$y=b \text{ において } w_i(x, b) = 0 \quad D \left( \frac{\partial^2 w_i}{\partial y^2} - \nu \frac{\partial^2 w_i}{\partial x^2} \right) = K_c \frac{\partial^3 w_i}{\partial x^2 \partial y} \quad (13)$$

ここで  $K_u, K_c$  は上, 下フランジのねじり剛性

$$y=y_j \text{ において } w_i(x, y_j) = 0 \quad (14)$$

を満足するよう  $K_u, K_c$ , 径数  $B_n, C_n, D_n$  が決定できる。

$$\text{初期たわみについても、同様に } \bar{w}_i(x, y) = \sum_m \sum_n B_{mn} \sin \frac{m \pi x}{a} g_n(y) \quad (15)$$

解(11)と式(15)を方程式(10)に代入して、与えられた  $B_{mn}$  に対する多元連立1次方程式の解として、 $A_{mn}$  を決定できる。

### 5. 断面力と応力の関係

図2のようにパキルの両端断面に応力が作用するととき、断面力と応力の関係は

$$\left. \begin{aligned} \sigma_u F_u + \sigma_c F_c + t \int_0^b \sigma_x dy &= 0, \quad \sigma_u F_u g + \sigma_c F_c (b-g) + t \int_0^b \sigma_x (y-g) dy = M \\ t \int_0^b \tau dy &= Q \end{aligned} \right\} \quad (16)$$

上下フランジ応力  $\sigma_u, \sigma_c$  についても、 $\sigma_u = \sigma_{u,0} + \lambda^2 \sigma_{u,z}, \quad \sigma_c = \sigma_{c,0} + \lambda^2 \sigma_{c,z} \quad (17)$  と考える。

$$\left. \begin{aligned} \sigma_{u,z} F_u + \sigma_{c,z} F_c + t \int_0^b \sigma_{x,z} dy &= 0, \quad -\sigma_{u,z} F_u g + \sigma_{c,z} F_c (b-g) + t \int_0^b \sigma_{x,z} (y-g) dy = 0 \\ \int_0^b \tau_{x,z} dy &= 0 \end{aligned} \right\} \quad (18)$$

以下紙面の都合上講義時に御説明申し上げる。

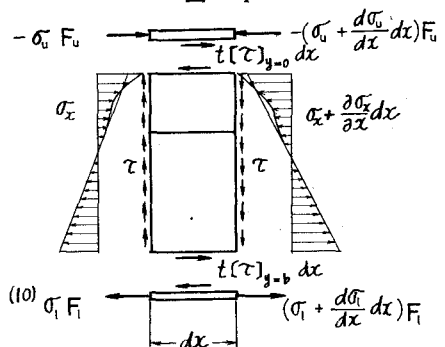


図-2